

日本钢管 技術研究所 ○小指軍夫 稲垣裕輔
栗原 極 三瓶哲也 大北智良

I. 緒言

非調質高張力鋼の靭性における圧延条件や化学成分の影響についてはこれまで詳細な検討がなされて来た。しかし制御圧延に非調質鋼がどのような集合組織をもち、それが靭性とどのような関係にあるかという点については系統的な研究はなされていない。一般に低温圧延すると集合組織が強くなること⁽¹⁾と脆性破壊と結晶方位の間に密接な関係があること^(2,3)を考慮すると、制御圧延に非調質鋼には比較的鮮明な集合組織が存在しこれが靭性に影響を与えていける可能性が十分にあると思われる。このような観点から制御圧延に非調質高張力鋼の集合組織とそれにおよぼす添加元素、圧延条件の影響を調査し、集合組織の形成機構および集合組織と靭性の関係について考察した。

II. 実験方法

供試材の化学成分と熱延条件を表1に示す。試料1, 2はNb添加の効果を、試料4~7はMn添加の効果を検討するために使用した。試料4は熱延仕上温度の影響をみるために900°Cと750°Cで仕上げた。圧延後の冷却はすべて空冷であるが試料3は熱延後直淬水焼入れもおこなう空冷の場合と集合組織を比較した。これらの試料から圧延面内に圧延方向から15°までは22.5きざみに引張試験片と衝撃試験片を採取した。引張試験は室温と液体窒素温度でおこなった。集合組織を決定するために板厚中心部から採取した試料の(200), (110), (211)極度図を作製した。これらの極度図から直接、集合組織を決定することはかなりの任意性をともないのであまりよく知られていない集合組織の解析には不適当である。

表1. 供試材の化学成分と熱延条件

Steel NO	Chemical Analysis (wt %)						Finishing Temp. (°C)	Thickness (mm)	
	C	Si	Mn	P	S	Nb			
1	0.13	0.27	1.25	0.011	0.017	—	—	750	12
2	0.12	0.30	1.31	0.024	0.014	0.026	—	750	12
3	0.14	0.36	1.29	0.014	0.012	0.011	—	850	12
4	0.18	0.30	1.28	0.015	0.005	0.032	0.042	750, 900	12
5	0.04	0.34	1.78	0.014	0.005	0.054	—	780	12
6	0.09	0.56	2.06	0.009	0.007	0.050	0.070	820	6
7	0.08	0.52	2.48	0.010	0.007	0.050	0.010	800	6

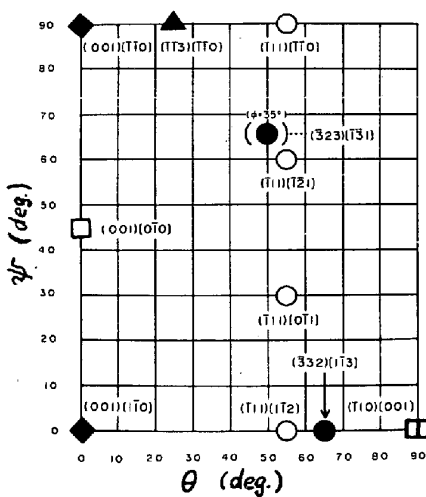


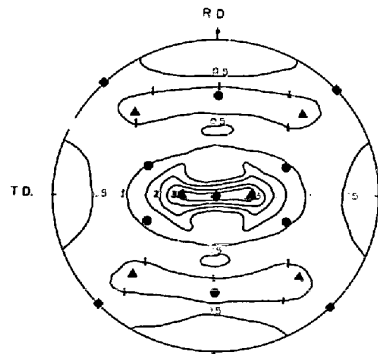
図1. $\phi = 45^\circ$ 断面図上の主な結晶方位の位置

三次元結晶方位解析法⁽⁴⁾ではこれらの極度図をさらに数理解析することによって集合組織を一義的にかつ定量的に決定できるので本研究でもこれを採用した。解析方法の詳細は他に記述してあるので省略する。⁽⁵⁾解析結果は $\phi=45^\circ$ 断面と称する面上に示されるのでこの面上の主な結晶方位の位置を記憶しておけば解析結果の解釈は容易である。図1に $\phi=45^\circ$ 断面上の主な結晶方位の位置を示す。図中央部のカッコ付の黒丸は $\phi=35^\circ$ 断面上の $\{332\}\langle 113 \rangle$ 方位の位置を示す。

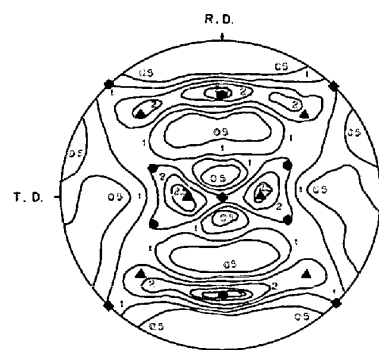
III. 結果

(a) 化学成分による集合組織と ∇T_S の面内異方性の変化

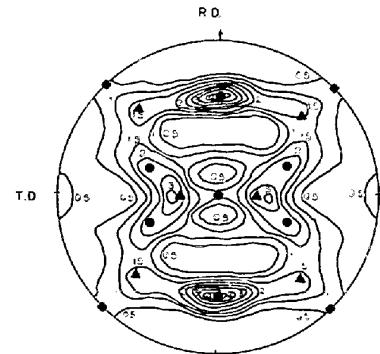
図2はMn量のことによるNb添加鋼を制御圧延に場合の熱延集合組織を示す{200}極度図である。一見してこれらの集合組織は<100>軸が板面法線に平行な<100>纖維集合組織, {311}<011>方位と{332}<113>方位の三者で構成されているように見受けられるが三次元結晶方位解析をおこなってみると図3の結果がえらば本質的にはこれらの集合組織を構成する主方位はI. {311}<011>, II. {332}<113>, III. {332}<110>であることがわかる。I, II成分はMn量とともに顕著に発達するがIII成分はあまり変化しない。<100>軸が板面法線に平行な結晶群は図3のθ = 0°線上に位置するがこれは{311}<011>方位の分散



(a) 1.28% Mn



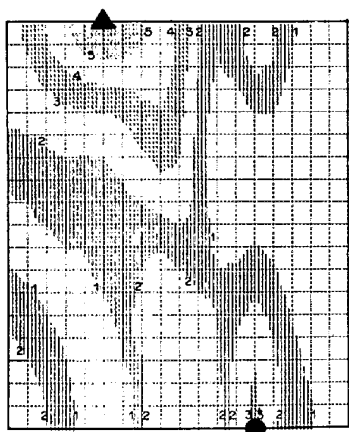
(b) 2.06% Mn



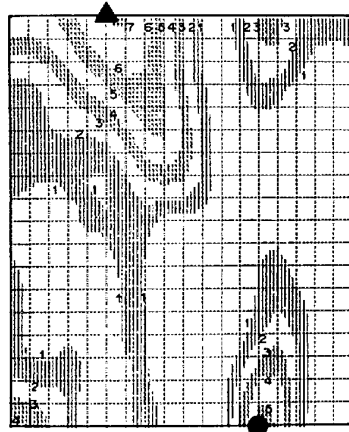
(c) 2.48% Mn

図2 热延集合組織におよぼすMn量の影響を示す2003極度図

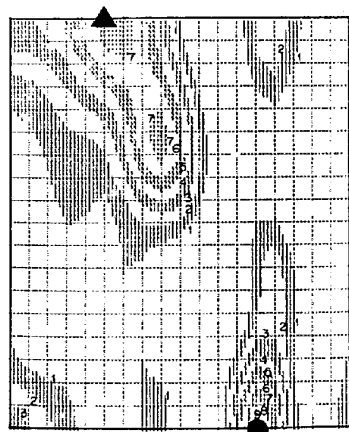
●; {332}<113> ▲; {311}<011> ◆; {100}<011>



(a) 1.28% Mn



(b) 2.06% Mn



(c) 2.48% Mn

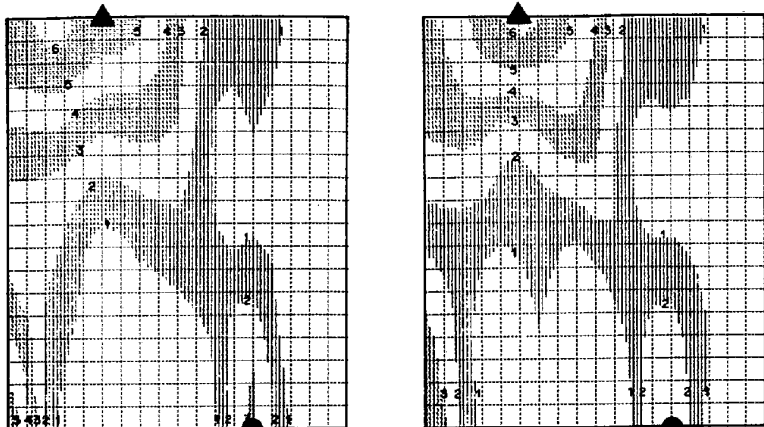
図3 Mn量のことなる試料の集合組織を示す三次元結晶方位分布実数の $\phi = 45^\circ$ 断面を構成していきにすぎずMn量が増加して{311}<011>方位が鮮明化し分散を減少するにつれて弱くなる。これらのことから図2(a)の{200}極度図の中央部の集積は{311}<011>方位の分散が重畠したものであつて<100>繊維集合組織と呼ぶのは適当でないと考えられる。これらMn量のことなる試料の vT_s の面内異方性は図4に示してある。Mn量の増加にともない vT_s の絶対値が低下し、 vT_s の極大が45°方向から0°方向へ推移し、 vT_s のL,C差が減少する。次にNb添加の効果を検討するために試料1, 2, 3制御圧延した。図5に示す $\phi = 45^\circ$ 断面図からNb添加材の場合に{311}<011>方位に現れる集積の中心はNbを添加しない場合は{511}<011>方位($\theta = 12^\circ, \psi = 90^\circ$)にあることわかる。この場合<100>結晶軸が板面に対し(低)角度で集積するのでNbを添加しないと敷性は劣化する。

(d) 壓延温度による集合組織および vT_s の面内異方性の変化

試料4の集合組織は900°Cで熱延した場合は図6に示すように主めめて弱りが750°Cで熱延すと図3(a)に示すように{311}<011>, {332}<113>方位が強い。集合組織に対する vT_s は図7に示すように400°Cで熱延した場合はほとんど面内異方性と示さないが750°Cで熱延した場合は45°方向で極大を示し面内異方性が強くなる。熱延後の冷却条件が集合組織におよぼす影響をるために試料3を850°Cで熱延後水焼入れもしくは空冷しその集合組織を比較した。その結果集合組織は冷却速度が早いほど悪く、その細部が保存されることがわかる。しかし主方位成分自体に差はないといわれた。

訂. 考察

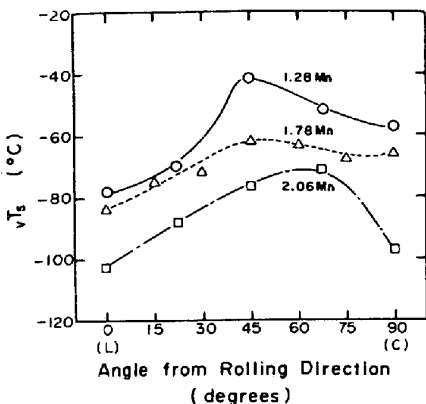
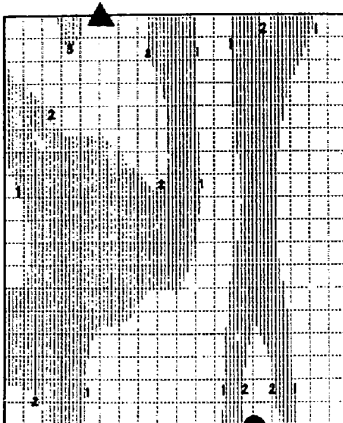
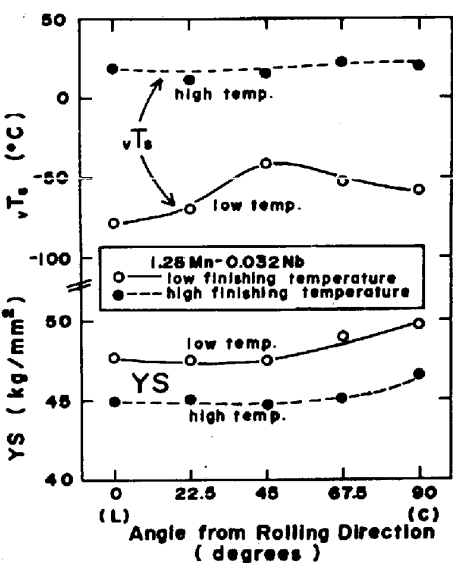
一般にオーステナイトとマルテンサイトの間の方位関係は \bar{S} もしくは西山の関係であるが、これのご熟成後本冷によるマルテンサイトが形成される場合、その集合組織はオーバーハート型の集合組織、上記の格子関係をもつて変換したものとなるはずである。制御圧延の場合は冷却速度はこれほど速くなり、集合組織は本焼入れの場合とほぼ同じであるから同じ変換則が成立するものと考えられる。この変換則といて $K-S$ の関係を採用した場合、 24 通りの variant が存在するが、従来の研究によればこれらの variant のすべてが同等の確率で実現するではなく、オーステナイトの圧延変形時に分解剪断応力が最大となるすべり面とすべり方向と格子関係の中に含む variant だけが優先的に実現するものと考えられており。^{(6)~(9)} オーステナイトの集合組織としては、 $18-8$ ステンレス鋼の場合に高温で圧延すると Cu 型の圧延集合組織が、低温で圧延すると Brass 型の圧延集合組織が形成されることが報告されており⁽¹⁰⁾、非調質鋼の場合は明らかではない。制御圧延がおこなわれるよう、低温領域では変態後のフェライト



(a) Nb ; trace

(b) Nb = 0.026%

図5 热延集合組織におよぼすNbの影響を示す $\phi=45^\circ$ 断面図
結晶粒が層伸しにオーステナイト粒とくまとくように群落を形成していることから判断し、オーステナイトは未再結晶、圧延ままの状態にあり、圧延集合組織が存在すると考えられる。いま、その方位成分として $(110)[\bar{1}12]$, $(211)[\bar{1}11]$, $(123)[\bar{4}12]$ が共存すると仮定して、圧延変形時の分解剪断応力が最大となるすべり系を求めるに $(110)[\bar{1}12]$ 方位の $[301](111)$, $[011](11\bar{1})$ すべり系がこれに該当することがわかる。これらのがすべり系を格子関係の中に含む $K-S$ variant によって $(110)[\bar{1}12]$ 方位から誘導されるマルテンサイトの $\{200\}$ 極度図を図8に示す。この図において Mn 量が低い場合は B and/or D に対応し、E 方位が強く Mn 量が高くなると A and/or C に対応し、F 方位が強

図4 vTs の面内異方性における Mn 量の影響図6 試料4を 900°C で熱延した場合の集合組織を示す $\phi=45^\circ$ 断面図図7 vTs の面内異方性における圧延温度の影響

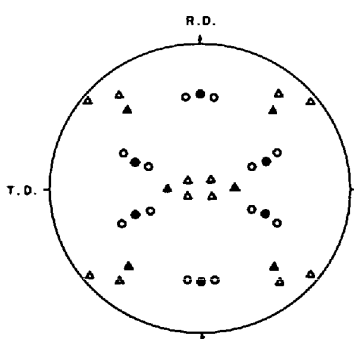


図8 下記の格子関係により(110)
{112}方位から派生する(×相方位の
{200}極東図

派生する{200}極の記号	
A; (111) _r // (101) _d , [101] _r // [111] _d ; ○	
B; (111) _r // (101) _d , [101] _r // [111] _d ; △	
C; (111) _r // (101) _d , [011] _r // [111] _d ; ○	
D; (111) _r // (101) _d , [011] _r // [111] _d ; △	
{332}<113>; ●	, {311}<011>; ▲

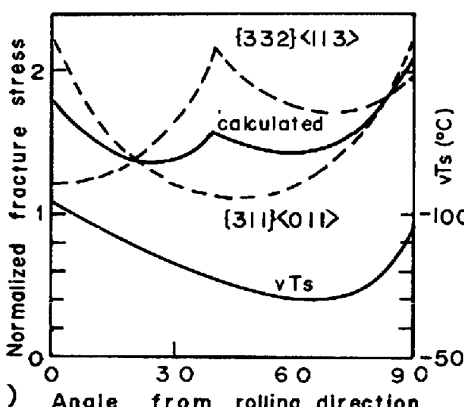


図9 理論計算によって求
めた破壊応力の面内異方性

くなると考えると図2に示したMn量の増加にともなう集合組織の変化をうまく説明できる。三次元結晶方位解析の結果との対応を求めてあるが、前者の場合は一致がよいのにに対し後者の場合はずれがやや大きい。このように圧延変形時の分解複断応力が最大となるすべり系を含むビ格子関係が優先的に成

立するとすれば、圧延変形の歪蓄積エネルギーの異方的分布が変態過程において重要な役割を果してることに他ならぬ。しかしAとB, CとDは各々同一のすべり系から派生して113にもかかわらずMn量の変化にともない片方のみが優先される理由が現

状では説明できない。いずれにせよ、A, B, C, Dはすべて(110)[112]方位から派生し正方位であつてこれが実測結果とよく一致することから考えてオーステナイトでは{110}<112>方位が強いB-rass型の圧延集合組織が存在したものと推測される。この圧延集合組織をより強く発達させるために圧下率をあげると通常の場合は再結晶が進行し集合組織は逆に弱くなるがNbを添加してNbCを析出させたり圧延温度を下げれば再結晶が抑制されオーステナイトの圧延集合組織が強くなるので変態後の集合組織が強くなる。Nb添加の効果、圧延仕上温度の効果に関する実験結果はこのことを裏付けている。

次に集合組織と靭性の異方性の関係について考察すると、火鉄の脆性破壊は{100}面での劈開によつて起るので<100>軸の集積の強引方向に引張った場合は破壊応力は低下することが予測される。{100}面上の分解法線応力が臨界値に達した時劈開が起ると仮定し、{332}<113>方位、{311}<011>方位が单独で存在する場合の破壊応力の面内異方性を計算した結果を図9に破線で示す。試料Gについて、その集合組織にもとづいて破壊応力の面内異方性を計算した結果を実線で示す。直接的な比較にはならないがこの試料のvTsの実測値も示す。これと計算結果は類似の面内異方性を示している。さらに一致をよくするためにには破面単位の大きさ、それを構成する結晶粒の相対的方位関係等を考慮に入れる必要がある。

V. 結 論

制御圧延した非調質高張力鋼の集合組織は{332}<113>, {311}<011>, {332}<110>の三者で構成される。これらの強度はMn量、Nb量、圧延温度によって変化し、靭性の面内異方性に影響を与えている。

VI. 文 献

- (1) 久保田、小指、清水; 日本金属学会誌, 32(1968)1074 (2) R.Priestner and N.Louat; Acta Met., 11(1963)195 (3) T.H.Webster; Acta Met., 18(1970)683 (4) H.J.Bunge; Mathematische Methode der Texturanalyse (Akademie Verlag, Berlin, 1969) (5) H.Inagaki and T.Suda; Texture, 1(1972)in press (6) 久保寺、中岡長嶽; 鉄と鋼 52(1966)1171 (7) 阿部伊藤福本; 日本金属学会誌, 31(1967)37 (8) 阿部伊藤; 日本金属学会誌, 31(1967)1300 (9) S.Watanabe, T.Amaki, and H.Miyaji; Proceedings ICTIS, 2(1972)1021 (10) S.R.Goodman and H.Hu; Trans. Met. Soc. AIME, 230(1964)1413